

# کنترل مستقیم گشتاور و شار موتور سنکرون رلوکتانسی سه فاز تغذیه شده با اینورتر $SVM$ دو سطحی سه فاز چهار کلیدی با بکارگیری کنترل کننده لغزشی

جعفر سلطانی      احمد رضا امینی      حسین ابوترابی زارچی  
دانشگاه صنعتی اصفهان، دانشکده برق و کامپیوتر، اصفهان، ایران

بعلاوه به منظور مقاوم نمودن سیستم کنترل درایو نسبت به تغییرات و نامعینی های پارامترهای ماشین و همچنین نسبت به اغتشاش گشتاور بار اولاً، مقاومت استاتور با یک تخمین زن از نوع  $PI$  متعارف تخمین زده می شود؛ ثانیاً یک کنترل کننده سرعت مد لغزشی بکار گرفته میشود که دارای ویژگیهای فاقد فاز رسیدن و شوریدگی کم است. این کنترل کننده سازگاری ترکیب با هر نوع کنترل کننده نامی از جمله کنترل کننده خطی فیدبک حالت می- باشد. در پایان هم کارایی روش کنترل پیشنهادی طی شبیه سازی کامپیوتری در زیر و بالای سرعت پایه به نمایش گذاشته می شود.

**کلمات کلیدی:** کنترل مستقیم، گشتاور، شار مغناطیسی، موتور رلوکتانسی، مد لغزشی، چهار کلیدی، بردار فضایی، اینورتر

**چکیده:** در این مقاله با استفاده از کنترل کننده های تغییر ساختار از نوع هیستریزس موسوم به  $(Bang-Bang)$ ، گشتاور و شار مغناطیسی یک موتور درایو سنکرون رلوکتانسی ( $SynRM$ ) (Synchronous Reluctance Motor) سه فاز که با یک اینورتر سه فاز چهار کلیدی از نوع مدولاسیون بردار فضائی ولتاژهای استاتور ( $FSTPI$ ) Four Switch Three Phase Inverter تغذیه می گردد کنترل می شود. ابتدا استراتژی سیستم مدارحلقه بسته درایو بر روی روش کنترل ماکزیمم گشتاور ( $MTC$ ) قرار داده می شود، آنگاه با افزایش تدریجی گشتاور بار این استراتژی بطور اتوماتیک به ترتیب با متدهای کنترلی ثابت نگاهداری جریان محور  $d$ ، ( $CCIAC$ ) و کنترل ضریب توان ماکزیمم مجاز ( $MFTC$ ) مربوط به موتور  $SynRM$  جایگزین میگردد.

**Abstract:** In this paper using the variable structure hysteresis ( $Bang-Bang$ ) controller, torque and magnetic flux of a three-phase synchronous reluctance motor ( $SynRM$ ) is controlled that is supplied by a four switch space-vector modulation three-phase inverter. Initially, the maximum control torque strategy ( $MTC$ ) is chosen in the closed loop drive system control. Then the chosen control strategy is replaced by Constant Current Inductive Axis Control ( $CCIAC$ ) and maximum Power Factor Control ( $MPFC$ ) strategies. In addition, in order to make the drive system control robust subject to machine parameter variations and uncertainties as

well as subject to load torque disturbance, the stator resistance is estimated first by a conventional  $PI$  estimator. Secondly, a Sliding Mode ( $SM$ ) speed controller is employed that has no reaching phase and has a low  $SM$  chattering. This controller is compatible with any type of nominal controller such as state feedback controller. Finally, the feasibility and effectiveness of the proposed controller is demonstrated by computer simulation below and above the base speed.

**Key Words-** Direct, Torque, Magnetic Flux, Reluctance Motor, Sliding-Mode, Four Switch, Space Vector, Inverter

کلیدی اندازه ولتاژ لینک  $dc$  تقریباً ۳۰ درصد بیشتر انتخاب شود. با توجه به این موضوع به نظر می‌رسد که کاربرد این نوع مبدل شاید در درایوهای القائی با توان‌های متوسط و بالا منطقی و اقتصادی نباشد ولیکن بکارگیری آن برای سرو درایوهای با توان کم نظیر  $SynRM$  می‌تواند مفید باشد.

چون در روش کنترل مستقیم گشتاور و شارموسوم به  $DTC$ ، تقریباً برای همه درایوهای  $ac$  اعم از القائی و سنکرون برای پایداری و مقاوم نمودن سیستم درایو لازم است تا تاثیر تغییرات مقاومت استاتور نیز در مدار کنترل درایو منظور شود، لذا در این مقاله این پارامتر بر اساس یک روش ساده بطور بهنگام تخمین زده می‌شود. بعلاوه در روش کنترل مستقیم سرعت و شار بمنظور پایدار و مقاوم نمودن رفتار پایدار و دینامیکی درایو نسبت به تغییرات پارامترهای الکترومکانیک موتور و اغتشاش گشتاور، از یک کنترل کننده ترکیبی مد لغزشی بهینه با یک سطح لغزش در [۲] پیشنهاد شده استفاده میگردد. از ویژگیهای این سطح لغزش میتوان به فاقد فاز رسیدن، شوریدگی کم و سازگاری ترکیب آن با کنترل کننده نامی متعارف را نام برد. کنترل کننده لغزشی بهینه پیشنهادی در این مقاله با یک کنترل کننده نامی از نوع درجه دوم خطی کلاسیک ( $LQ$ ) موسوم به کنترل کننده خطی با فیدبک ترکیب میگردد.

روش کنترلی که تا کنون در درایو  $SynRM$  بیشتر مورد توجه محققین قرار گرفته است، روش  $MTC$  بوده است. با مراجعه به [۶]، با افزایش تدریجی گشتاور بار چون ممکن است شار مغناطیسی محور مستقیم موتور از مقدار نامی خود تجاوز نماید دیگر امکان ادامه کار موتور با روش  $MTC$  وجود ندارد و لذا لازم است تا این روش کنترلی به ترتیب با روشهای کنترلی  $CCIAC$  و  $MFPC$  جایگزین گردد. از اینرو در این مقاله در سیستم کنترل مدار حلقه بسته درایو این امکان فراهم میگردد که متدهای کنترلی مذکور متناسب با افزایش تدریجی گشتاور بار بطور اتوماتیک انتخاب گردند.

## ۲- مدل ریاضی موتور سنکرون رلوکتانسی

چون  $SynRM$  های سه فاز که اخیراً طراحی و ساخته شده‌اند فاقد سیم پیچ‌های میراکننده بر روتور می‌باشند لذا، با خطی فرض کردن مدار مغناطیسی، معادلات دو محوری این ماشین در دستگاه مختصات مرجع روتور عبارتند از [۱]:

در دو دهه اخیر از یک طرف بواسطه بهبودهای شایان توجهی که در طراحی و ساخت موتور ( $SynRM$ ) بوجود آمده است [۱]، و از طرف دیگر به لحاظ سادگی ساختار کنترلی و عدم نیاز به سیم پیچ‌های تحریک و میراکننده بر روی روتور، استفاده از این موتور در کاربردهای صنعتی کنترل موقعیت و سرعت در محدوده توانهای کم بعنوان یک رقیب برای سرو درایوهای القائی و سنکرون مغناطیس مورد توجه محققین و مهندسين طراحان درایو قرار گرفته است. تا کنون مقالاتی چند درخصوص کنترل موقعیت موتور  $SynRM$  بر پایه روشهای کنترل برداری و خطی سازی با فیدبک با بکارگیری کنترل کننده‌های مد لغزشی گزارش و منتشر شده است [۲ و ۳]، و لیکن بر اساس اطلاعات و کاوشهای اندک نویسندگان این مقاله، توجه کمتری به کنترل مستقیم شار و گشتاور ( $DTC$ ) این موتور مبذول گردیده است. این روش کنترل که تقریباً از سال ۱۹۸۰ به بعد در سطح وسیعی بر روی درایوهای القائی و سنکرون مغناطیس دائم از هر دو نوع سطحی و داخلی روتور به اجراء در آمده است [۵ و ۶]، دارای مزایایی مثل ساده بودن روش در پیاده‌سازی عملی، عدم نیاز به انتقال متغیرهای ماشین از یک دستگاه مختصات به دستگاه دیگر (آنطور که در روشهای کنترل برداری الزامی است)، عدم نیاز به تعریف متغیرهای وردی-خروجی رایج در روشهای خطی سازی با فیدبک و بالاخره مقاوم بودن سیستم کنترل درایو نسبت به تغییر پارامترهای الکترومکانیک ماشین و اغتشاش گشتاور بار به استثناء تغییرات مقاومت استاتور می‌باشد.

هدف این مقاله کنترل مستقیم گشتاور و شار درایو  $SynRM$  سه فاز تغذیه شونده با یک اینورتر سه فاز چهار کلیدی از نوع  $SVM$  بر پایه استراتژیهای  $MTC$  و  $CCIAC$  و  $MPFC$  مربوط به این موتور می‌باشد. با این روش امکان کنترل سرعت درایو نیز فراهم است. اینورتر مورد نظر که در مرجع [۵] گزارش شده است برای یک درایو القائی بکار رفته است و چنانچه نتایج آن مقاله نشان می‌دهد، این اینورتر در مقایسه با یک اینورتر دو سطحی سه فاز  $SVM$  متعارف دارای ضربانهای گشتاور تولیدی کمتر و بعلاوه جدول کلیدزنی ساده‌تری می‌باشد. در هر حال چنانچه در فصلهای بعدی این مقاله توضیح داده خواهد شد، اینورتر پیشنهادی در مقایسه با اینورتر  $SVM$  دو سطحی دارای این ضعف عمده است که برای داشتن دامنه ولتاژهای خروجی مساوی در هر دو اینورتر، لازم است تا در اینورتر چهار

با توجه به معادله (۵)، گشتاور تولیدی موتور در مختصات مرجع امتدادیابی بردار شار دور مغناطیسی استاتور (محور  $x$  در راستای  $\bar{\lambda}_s$ ) از رابطه زیر بدست می‌آید:

$$T_e = \frac{3}{2} P |\bar{\lambda}_s| i_{sy} \quad (۶)$$

بطوریکه:

$$|\bar{\lambda}_s| = \lambda_{sx} = \sqrt{\lambda_{ds}^2 + \lambda_{qs}^2} \quad \text{با} \quad \lambda_{sy} = 0 \quad (۷)$$

با انتقال شارهای دو محوری  $(\lambda_{qs}, \lambda_{ds})$  از مختصات مرجع روتور به دستگاه امتدادیابی  $(x, y)$  و بکمک رابطه (۶) و (۷) میتوان نشان داد که:

$$T_e = \frac{3P}{4L_d L_q} (L_d - L_q) |\bar{\lambda}_s|^2 \sin(2\delta) \quad (۸)$$

رابطه (۸) نشان می‌دهد که با بکارگیری کنترل‌کننده‌های تغییر ساختار نوع  $(Bang - Bang)$  می‌توان  $SynRM$  را با روش  $(DTC)$  کنترل نمود.

در سرعت‌های بالاتر از پایه، رفتار درایو با مد تضعیف شار تبیین می‌شود بطوریکه:

$$\lambda_s^* = \lambda_{s(base)}^* \frac{\omega_b}{\omega_e} \quad (۹)$$

که در آن  $\omega_b, \omega_e$  به ترتیب فرکانس زاویه‌ای الکتریکی پایه و واقعی و  $\lambda_{s(base)}^*, \lambda_s^*$  هم به ترتیب شارهای مرجع پایه و واقعی موتور می‌باشند.

در [۴] همچنین نشان داده شده است که در سرعت‌های بالاتر از پایه ماکزیمم محدوده پایدار موتور در مد کاری تضعیف شار با روابط زیر تعیین می‌گردند:

$$\frac{\omega_e}{\omega_b} < \frac{1}{2} \left( \sqrt{\frac{L_d}{L_q}} + \sqrt{\frac{L_q}{L_d}} \right) \quad (۱۰)$$

$$\frac{V_s^2}{X_q^2} = \left( \frac{X_d}{X_q} \right)^2 I_{ds}^2 + I_{qs}^2 \quad (۱۱)$$

$$V_s = V_{sb} \quad (۱۲)$$

شایان ذکر است که معادله (۱۱) بکمک روابط (۱) و (۲) در حالت ماندگار سینوسی و با صرفنظر کردن از مقاومت استاتور  $R_s$  بدست می‌آید.

$$V_{qs} = R_s i_{qs} + \frac{d}{dt} \lambda_{qs} + \omega_r \lambda_{ds} \quad (۱)$$

$$V_{ds} = R_s i_{ds} + \frac{d}{dt} \lambda_{ds} - \omega_r \lambda_{qs} \quad (۲)$$

بطوریکه  $\omega_r$  سرعت زاویه ای الکتریکی روتور،  $r_s$  مقاومت استاتور،  $(i_{qs}, i_{ds})$ ،  $(V_{qs}, V_{ds})$ ،  $(\lambda_{qs}, \lambda_{ds})$  به ترتیب جریان، ولتاژها و شارهای دومیوری استاتور می‌باشند بطوریکه:

$$\lambda_{ds} = L_{ds} i_{ds}, \quad \lambda_{qs} = L_{qs} i_{qs} \quad (۳)$$

همچنین معادله مکانیکی موتور عبارتست از:

$$J_m \frac{d\omega_m}{dt} + B\omega_m = T_e - T_l \quad (۴)$$

$\omega_m$  سرعت زاویه‌ای مکانیکی روتور،  $B$  ثابت اصطکاک و  $J_m$  مماند اینرسی روتور،  $T_l$  گشتاور بار،  $P$  تعداد قطب‌های استاتور و  $T_e$  گشتاور تولیدی موتور است که از رابطه زیر بدست می‌آید:

$$T_e = \frac{3}{4} P (L_{ds} - L_{qs}) i_{ds} i_{qs} \quad (۵)$$

با صرفنظر کردن از مقاومت استاتور، استراتژی‌های کنترل مربوط به  $SynRM$  با روابط زیر تبیین و تعیین می‌گردند [۴]:

$$1- MTC \quad \text{با} \quad (\varepsilon = 45^\circ)$$

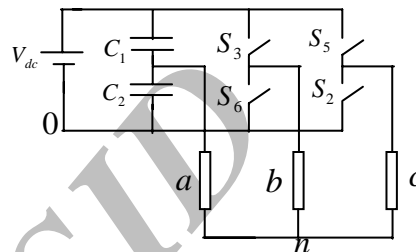
$$2- CCIAC, \quad (i_{ds} = cte)$$

$$3- MPFC \quad \text{با} \quad \tan \varepsilon = \sqrt{\frac{L_{ds}}{L_{qs}}}$$

چنانچه در [۴] توضیح داده شده است، اگر ابتدا استراتژی کنترل  $MTC$  انتخاب شود آنگاه با افزایش تدریجی گشتاور بار، جریان محور  $d$  روتور  $(i_{ds})$  به حدی افزایش یابد تا شار تولیدی توسط این جریان در همان محور  $(\lambda_{ds})$  بیشتر از مقدار نامی مربوطه گردد. در اینصورت دیگر ادامه کار درایو بر پایه روش مذکور منطقی نبوده و لذا لازم است تا این استراتژی به ترتیب با روش‌های کنترلی  $CCIAC$  و  $MPFC$  جایگزین گردد. شایان ذکر است که استراتژی  $MPFC$  مربوط به شرایط کار نامی درایو تحت سرعت، ولتاژ و شار نامی موتور می‌باشد.

### ۳- تحلیل بردارفضایی ولتاژهای خروجی و ساختار اینورتر سه فاز چهارکلیدی *FSTPI*

شمای الکتریکی یک اینورتر منبع ولتاژ سه فاز که در آن فقط از چهار کلید قدرت استفاده شده است در شکل (۱) دیده می-شود [۵].



شکل (۱): مدار بخش قدرت اینورتر سه فاز چهار کلیدی

جدول (۱) ولتاژهای خروجی اینورتر شکل (۲) را برای وضعیت مختلف کلیدها نشان می‌دهد.

بردار فضایی ولتاژهای استاتور  $V_s$  عبارتست از:

$$V_s = 2/3[V_{an} + aV_{bn} + a^2V_{cn}] \quad (۱۳)$$

$$V_s = V_d + jV_q$$

با مراجعه به شکل (۱) و جایگزینی حالت کلیدهای  $S_3, S_5$ ، می‌توان رابطه (۱۸) را بصورت زیر نوشت:

$$V_s = 2/3V_{dc}[0.5 + aS_3 + a^2S_5] \quad (۱۴)$$

بنابراین مؤلفه‌های دومیوری  $V_d, V_q$  عبارتند از:

$$V_d = 1/3V_{dc}(1 - S_3 - S_5) \quad (۱۵)$$

$$V_q = 1/\sqrt{3}V_{dc}(S_3 - S_5)$$

از معادله (۱۵) نتیجه می‌شود که این اینورتر شامل چهاربردار فعال غیرصفر با دامنه‌های متفاوت است (برخلاف اینورتر دو سطحی *SVM* متعارف سه‌فاز که دارای عبوردار فعال اصلی غیر صفر با دامنه‌های مساوی و دو بردار صفر است).

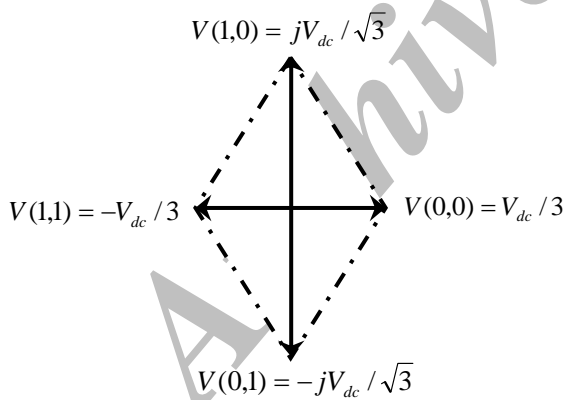
با استفاده از جدول (۱)، توپولوژی بردارهای فضایی ولتاژهای خروجی اینورتر مورد نظر در شکل (۲) نمایش داده می‌شود.

جدول (۱): آرایش کلیدزنی اینورتر (*FSTPI*)

کلیدها	بردار	$V_{bo}$	$V_{co}$	$V_{ao}$	$V_{bn}$	$V_{cn}$
۵و۳	۱و۱	$V_{dc}$	$V_{dc}$	$-V_{dc}/3$	$V_{dc}/6$	$V_{dc}/6$
۶و۲	۰و۰	۰	۰	$V_{dc}/3$	$-V_{dc}/6$	$-V_{dc}/6$
۲و۳	۱و۰	$V_{dc}$	۰	۰	$V_{dc}/2$	$-V_{dc}/2$
۵و۶	۰و۱	۰	$V_{dc}$	۰	$-V_{dc}/2$	$V_{dc}/2$

### ۳-۱- کنترل مستقیم گشتاور و شار *SynRM*

در پیاده‌سازی روش *DTC* برای *SynRM*، با انتخاب مناسب بردارهای فعال کلیدزنی، مقادیر شار پیوندی و گشتاور واقعی موتور در یک نوار تغییرات که پهنای آن توسط کنترل‌کننده‌های هیستریزس تعیین می‌شوند قرار می‌گیرند.



شکل (۲): توپولوژی برداری ولتاژهای خروجی اینورتر چهار کلیدی

در صورتی که مقدار گشتاور و یا دامنه شار پیوندی از محدوده‌های تعیین شده خارج شود با توجه به خروجی کنترل-کننده‌های هیستریزس و استفاده از جداول (۲) و (۳) بردار فعال مربوطه جهت قرار دادن مقادیر شار یا گشتاور واقعی موتور در محدوده‌های تعیین شده انتخاب می‌گردد.

معادلات مربوط به تخمین شار و گشتاور موتور در مختصات ساکن استاتور با روابط زیر بدست می‌آیند:

$$\lambda_D(k) = \lambda_{D/k-1} + (v_{D/k-1} - R_s i_D) T_s \quad (16)$$

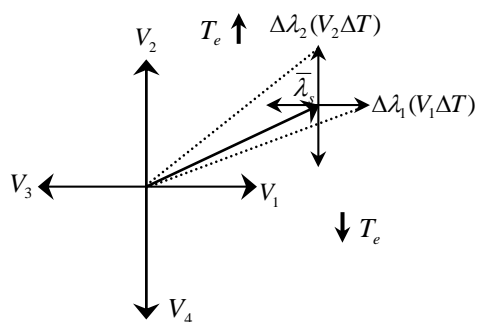
$$\lambda_Q(k) = \lambda_{Q/k-1} + (v_{Q/k-1} - R_s i_Q) T_s$$

$$T_e(k) = \frac{3}{2} \frac{P}{2} (\lambda_D(k) i_Q(k) - \lambda_Q(k) i_D(k)) \quad (17)$$

$T_s$  پریود نمونه برداری و متغیرهای اندیس  $(k-1)$  نیز مقادیر نمونه برداری شده در پله  $(k-1)$  محاسباتی می‌باشند. همچنین مقادیر ولتاژهای  $v_D, v_Q$  از جدول (۱) تعیین می‌شوند. مضافاً به آنکه در لحظه  $t=0$  و در اولین پله محاسباتی مقادیر اولیه  $\lambda_D(k), \lambda_Q(k)$  نیز صفر هستند. در هر زمان نمونه برداری پس از محاسبه شارهای دو محوری  $\lambda_D(k), \lambda_Q(k)$  مقدار گشتاور موتور از روی معادله (۱۷) تخمین زده میشود.

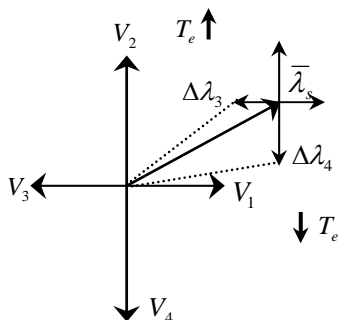
شکل (۳) نشان می‌دهد که اگر بردار شار دور پیوندی استاتور ( $\bar{\lambda}_s$ ) در ربع اول قرار داشته باشد و نیاز به افزایش دامنه این بردار باشد، در این حالت بایستی از دو بردار فعال ولتاژ کلید-زنی  $v_1, v_2$  استفاده شود. اعمال بردار  $v_1$  باعث کم شدن زاویه بین بردار شار دور و محور  $d$  روتور شده و در نتیجه کاهش مقدار گشتاور تولیدی موتور و بالعکس با اعمال بردار فعال ولتاژ  $v_2$  گشتاور تولیدی افزایش می‌یابد.

همچنین اگر بر اساس خروجی کنترل کننده  $(Bang - Bang)$  مربوط به حلقه شار، نیاز به کاهش دامنه بردار  $\bar{\lambda}_s$  باشد، چنانچه در شکل (۴) دیده می‌شود لازم است بردارهای  $v_3$  و  $v_4$  اعمال گردند.



شکل (۳): بردارهای ولتاژ کلیدزنی برای افزایش بردار

شار دور پیوندی  $|\bar{\lambda}_s|$



شکل (۴): بردارهای ولتاژ کلیدزنی برای کاهش بردار

شار دور پیوندی  $|\bar{\lambda}_s|$

با توجه به شکل‌های (۳) و (۴)، جداول (۲) و (۳) جهت کلیدزنی اینورتر به ترتیب برای حالات کاری موتوری و ترمزی با بازیابی انرژی (ژنراتوری) برای درایو *SynRM* پیشنهاد می‌گردند. در این جداول  $\theta$  زاویه بردار فضائی شار دور پیوندی در دستگاه ساکن دو محوری استاتور و متغیر  $\tau$  و  $\phi$  به ترتیب خروجی‌های مربوط به کنترل‌کننده‌های هیستریزس حلقه گشتاور و شار موتور می‌باشند.

جدول (۲): جدول کلید زنی اینورتر برای حالت کار موتوری

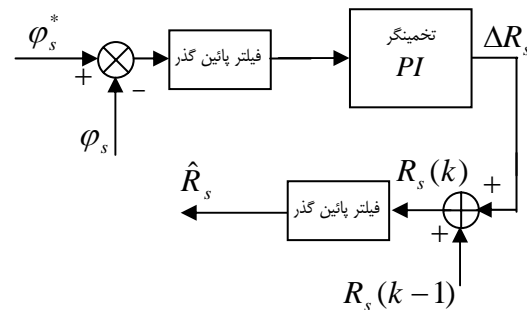
$\theta$		<i>SynRM</i>			
		$\phi$	$\tau$	$\theta(1)$	$\theta(2)$
۱	۱	$V_2$	$V_3$	$V_4$	$V_1$
	۰	$V_1$	$V_2$	$V_3$	$V_4$
۰	۱	$V_3$	$V_4$	$V_1$	$V_2$
	۰	$V_4$	$V_1$	$V_2$	$V_3$

جدول (۳): جدول کلید زنی اینورتر برای حالت کار ژنراتوری

$\theta$		<i>SynRM</i>			
		$\phi$	$\tau$	$\theta(1)$	$\theta(2)$
۱	۱	$V_1$	$V_4$	$V_3$	$V_2$
	۰	$V_2$	$V_1$	$V_4$	$V_3$
۰	۱	$V_4$	$V_3$	$V_2$	$V_1$
	۰	$V_3$	$V_2$	$V_1$	$V_4$

#### ۴- تخمین گر مقاومت استاتور

از روابط (۱۶)، (۱۷) دیده می‌شود که دامنه بردار تخمینی شار استاتور ( $\lambda_s$ ) تنها متأثر از تغییرات مقاومت استاتور می‌باشد. علاوه بر این تغییرات باعث بروز تغییرات در گشتاور تولیدی موتور می‌گردد. این اثرات به خصوص در سرعت‌های پائین بیشتر خود را نشان می‌دهد زیرا در این محدوده کاری می‌توان از افت ولتاژ بر روی مقاومت استاتور صرف‌نظر نمود. با توجه به این معادلات (۱۶)، (۱۷) بطوریکه تغییرات بردار شار استاتور یک متغیر  $\Delta R_s$  بردار مقاومت  $R_s$  فرض شود، تغییرات حاصله در بردار شار تخمین شار استاتور ( $\Delta \lambda_s$ )، یک رابطه غیرخطی با  $\Delta R_s$  خواهد داشت که آن را می‌توان توسط یک کنترل کننده پیش بین از نوع PI متعارف مطابق شکل (۵) تخمین زد. بلوک تخمین زن مقاومت استاتور، در هر پله محاسباتی  $\Delta R_s(k)$  محاسبه و به مقدار مجموع آن اضافه می‌شود و پس از عبور از فیلتر پائین‌گذر، مقاومت تخمینی استاتور  $\hat{R}_s(k)$  به دست می‌آید، سپس از آن جهت تخمین بردار شار استاتور در پله محاسباتی بعدی یعنی  $\hat{\lambda}_s(k+1)$  استفاده می‌شود.



شکل (۵): بلوک دیاگرام تخمین مقاومت استاتور

#### ۵- کنترل مستقیم سرعت و شار SynRM

از روی معادلات (۴) و (۵)، معادلات حالت مکانیکی SynRM عبارتند از:

$$\begin{bmatrix} \dot{\omega}_m \\ \dot{\theta}_m \end{bmatrix} = \begin{bmatrix} -\frac{B_m}{J_m} & 0 \\ 1 & 0 \end{bmatrix} \begin{bmatrix} \omega_m \\ \theta_m \end{bmatrix} + \begin{bmatrix} 1 \\ 0 \end{bmatrix} T_e - \begin{bmatrix} 1 \\ 0 \end{bmatrix} T_L \quad (18)$$

برای یک سرعت مرجع  $\omega_{ref}$  فرمان داده شده به موتور با تعریف متغیر حالت  $(x = \omega_{ref} - \omega_r)$  و بکمک معادله (۱۸) میتوان نوشت:

$$\dot{x}_1 = -ax_1 + f(t) \quad (19)$$

با

$$f(t) = bi_s^2 \sin(2\varepsilon) - T'_L + a\omega_{ref} + \dot{\omega}_{ref} \quad (20)$$

$$که در آن \quad a = \frac{B_m}{J_m} \quad و \quad b = \frac{K_T}{J_m} \quad و \quad T'_L = \frac{T_L}{J_m}$$

بر پایه معادله (۱۹)، با استفاده از روش LOC، سیگنال نامی کنترل سرعت SynRM عبارتست از:

$$u = -kx_1 = i_s^2 \sin(2\varepsilon) \quad (21)$$

که در آن  $k$  ضریب بهره کنترل کننده خطی فیدبک حالت و  $\varepsilon$  زاویه بین بردار فضائی جریانهای استاتور ( $\vec{i}_s$ ) و محور  $d$  روتور است. با سیگنال کنترلی داده شده در معادله (۲۱)، در حالیکه که نامعینی در پارامترهای الکترومکانیکی موتور و نیز اغتشاش گشتاور بار وجود داشته باشد، دیگر پایداری و مقاوم بودن سیستم کنترل مدار حلقه بسته سرعت درایوتضمین نمیشود و از اینرو لازم است توسط یک کنترل کننده لغزشی مناسب یک سیگنال کنترل اضافی برای جبران عوامل فوق‌الذکر طراحی و به سیگنال کنترل معادله (۲۱) اضافه شود.

برای جبران تابع نامعینی  $p$  یک سطح لغزش از نوع انتگرالی، موسوم به تغییر ساختارکلی به صورت زیر تعریف میگردد [۲]:

$$s(x_1, t) = c(x_1 - x_0) - ca \int_0^t x_1(t') dt' \quad (22)$$

این کنترل کننده دارای خصوصیات شوریدگی کم و فاقد فاز رسیدن می‌باشد و چنانچه در مرجع داده شده است بهترین انتخاب برای ثابت  $C$  برابر با  $\frac{1}{b}$  است.

برای برقراری شرط رسیدن به سطح  $(s\dot{s} < 0)$  از یک سیگنال کنترل ترکیبی بصورت زیر استفاده می‌شود:

$$u = -kx_1 - qsat\left(\frac{s}{\varphi}\right) \quad (23)$$

در معادله (۲۳) برای تعیین ضریب بهره لغزش  $q$  حد بالای نامعینی‌ها و اغتشاش گشتاور بار در قالب نامعادله زیر تعریف می‌شود:

$$q > Max[p(t)] \quad (24)$$

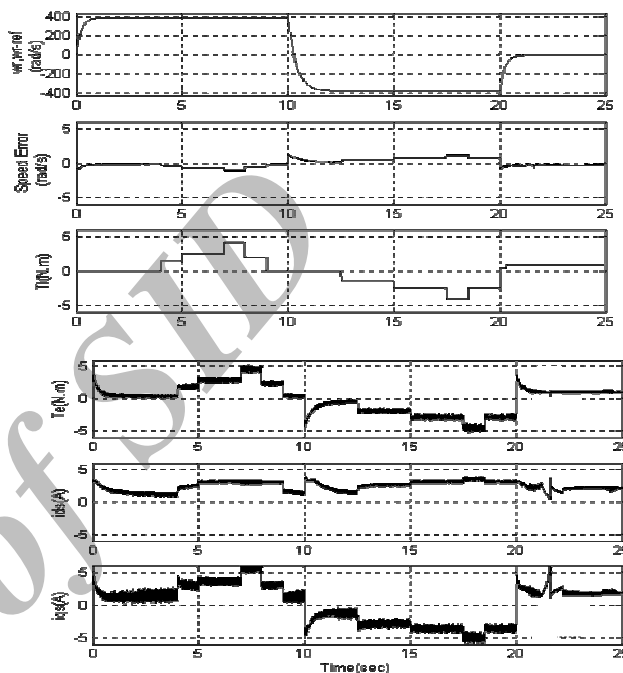
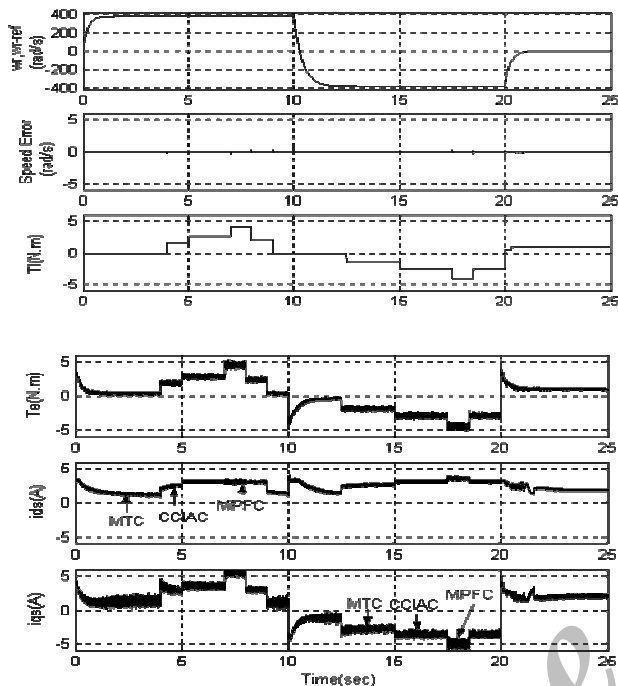
شایان ذکر است که ضریب بهره لغزش  $(q)$  و عرض نوار  $(\varphi)$  هر دو با روش سعی و خطا و بر پایه حصول شوریدگی کم در SMC و کمترین خطا محاسبه میگرددند.





هارمونیکی کمتر و در نتیجه تولید دامنه ضربانهای گشتاور کمتری در موتور می نماید.

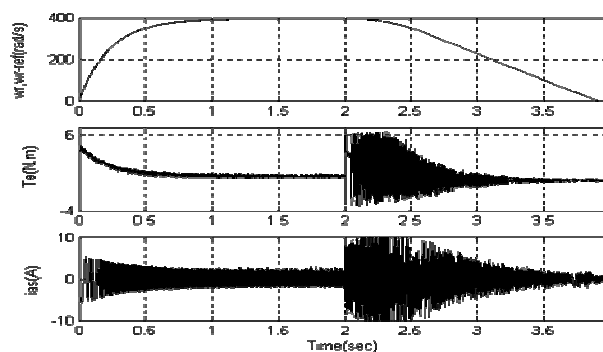
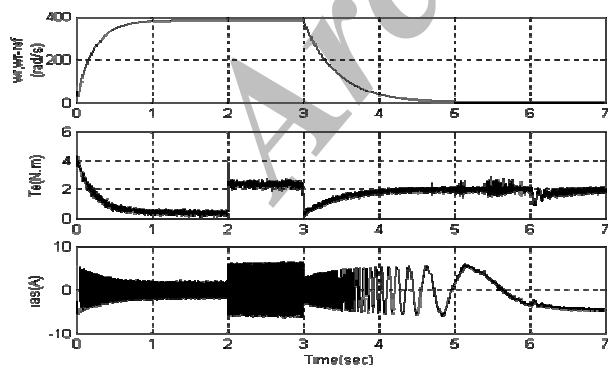
نامنظم در می آید در حالیکه سرعت زاویه ای بردار  $\bar{\lambda}_s$  هم متغیر است. حال هر چه مکان هندسی مذکور به دایره نزدیکتر باشد می توان نتیجه گرفت که اینورتر تغذیه کننده موتور دارای محتوای



(۱-۱۰) نتایج با کنترل کننده  $LQ$

(۲-۱۰) نتایج با کنترل کننده  $SMC$

شکل (۱۰): نتایج شبیه سازی حاصل از کنترل سرعت درایو  $SynRM$



(۲-۱۱) نتایج با کنترل کننده  $SMC$

(۱-۱۱) نتایج با کنترل کننده ترکیبی  $LQ$

شکل (۱۱): نتایج شبیه سازی حاصل از کنترل سرعت درایو  $SynRM$  با وجود نامعینی ها و اغتشاش گشتاور بار



شکل (۹) ، نتایج کامپیوتری روش  $DTC$  را بر روی  $SynRM$  با وبدون تخمین مقاومت استاتور نشان می‌دهد. چنانچه شکل (۹-۱) نشان می‌دهد در صورتیکه از مقاومت واقعی استاتور در روش  $DTC$  استفاده نشود ، سیستم کنترل درایو مختل و ناپایدار میگردد. دلیل آن افت ولتاژ بر روی این مقاومت که بخصوص در سرعت‌های کم موتور نمیتوان از آن صرفنظر نمود.

نتایج کامپیوتری مربوط به کنترل حلقه‌بسته سرعت درایو در شکل (۱۰) آورده شده است. این نتایج بر پایه پارامترهای نامی ماشین و با تغذیه موتور با اینورتر پیشنهادی برای دو کنترل کننده  $LQ$  و  $SMC$  ترکیبی بدست آمده‌اند. شایان ذکر است که در بدست آوردن این نتایج ابتداء سیستم کنترل درایو بر روی  $MTC$  قرار داده شده است.

شکل (۱۱) ، نتایج کامپیوتری مربوط به کنترل مستقیم سرعت و شار درایو  $SynRM$  را تحت شرایط تغییر  $L_d$  از مقدار کاتالوگی  $135\text{ mH}$  به  $105\text{ mH}$  و اعمال گشتاور بار  $3\text{ N.m}$  (هر دو در

ثانیه دوم) و همچنین تغییر پارامتر  $J$  به اندازه ۵ برابر مقدار اولیه در ثانیه ششم را نشان میدهد. از روی این نتایج دیده می‌شود که در حالیکه تحت

شرایط مذکور با کنترل کننده  $LQ$  سیستم کنترل درایو ناپایدار و مختل میگردد ، ولیکن رفتار موتور با کنترل کننده ترکیبی  $SMC$  پایدار و مقاوم باقی می‌ماند.

## ۶- نتیجه گیری

در این مقاله با استفاده از یک اینورتر سه‌فاز چهارکلیدی از نوع  $SVM$  ، کنترل مستقیم گشتاور و شار یک  $SynRM$  سه-فاز مورد بحث قرار گرفته است. روش مذکور بر اساس یک جدول کلیدزنی که بسیار ساده‌تر از نوع مشابه خود در اینورتر  $SVM$  دوسطحی سه‌فاز است، به اجرا در می‌آید. روش کنترل مستقیم گشتاور (ویا سرعت) بر پایه استراتژیهای کنترلی رایج در  $SynRM$  ،  $MTC$  و  $CCIAC$  و  $MPFC$  متناسب با افزایش تدریجی گشتاور بار در زیر و بالای سرعت پایه انجام گرفته است. ابتدا استراتژی کنترل  $MTC$  انتخاب می‌شود و آنگاه بطور اتوماتیک به ترتیب این استراتژی با متدهای  $MPFC$  و  $CCIAC$  جایگزین می‌گردند ، در کنترل سرعت درایو در بالاتر از پایه در مد کار تضعیف شار و با در نظر گرفتن استراتژیهای فوق‌الذکر ، با رعایت محدوده‌های مجاز ماکزیمم

سرعت درایو و همچنین محدوده‌های بیضوی شکل مربوط به ولتاژهای دو محوری ماشین نیز رعایت می‌شوند. برای مقاوم سازی سیستم کنترل حلقه‌بسته سرعت درایو نسبت به نامعینی‌ها و اغتشاش گشتاور بار ، از یک کنترل کننده مد لغزشی ترکیبی بهینه از نوع انتگرالی موسوم به تغییر ساختار کلی با خصوصیات شوریدگی کم و فاقد فاز رسیدن استفاده شده است . نتایج کامپیوتری بدست آمده با این کنترل کننده بخوبی کارایی آنرا در رسیدن به هدف فوق نشان می‌دهد . لازم به ذکر است که در کنترل مستقیم گشتاور و شار با توجه به استراتژیهای متفاوت کنترلی درایو  $SynRM$  ، که در ازاء هر یک از آنها ، مقدار شار مرجع از روی مقدار گشتاور مرجع بر اساس پارامترهای نامی ماشین تعیین میگردد، در هنگام بروز نامعینی‌ها گر چه که سیستم کنترل درایو ، گشتاور و شار مرجع فرمان داده شده را دنبال می‌کند ولیکن دیگر تضمینی برای حفظ استراتژی کنترلی از پیش تعیین شده وجود ندارد.

در این مقاله همچنین نتایج کامپیوتری بدست آمده با اینورترهای  $FSTPI$  و اینورتر دو سطحی سه‌فاز  $SVM$  متعارف با هم مقایسه شده‌اند. نتیجه این مقایسه مؤید آنست که تحت شرایط مساوی ، سیستم کنترل حلقه‌بسته درایو برای کنترل مستقیم گشتاور (یا سرعت) و شار ، با اینورتر سه‌فاز چهارکلیدی ، ضریب‌های گشتاور تولیدی موتور کمتر و بعلاوه دامنه جریانهای گذرای استاتور نیز پائین‌تراند. همچنین این مقایسه نشان می‌دهد که برای داشتن دامنه‌های ولتاژهای اصلی مساوی در خروجی هر دو اینورتر ، لازم است تا در اینورتر سه‌فاز چهارکلیدی  $SVM$  مقدار ولتاژ لینک  $dc$  تقریباً ۳۰ درصد بیشتر از دیگری انتخاب شود . از این موضوع می‌توان نتیجه گرفت که استفاده از اینورتر سه‌فاز چهارکلیدی  $SVM$  گرچه که در کنترل سرورایوهای با توان کم، نظیر  $SynRM$  آسان و مقرون به صرفه است ولیکن بکارگیری آن در درایوهای با توان‌های متوسط و بالا به هیچ وجه توصیه نمی‌گردد.

جدول (۴) : مشخصات نامی موتور سنکرون رلوکتانسی

شبیه‌سازی شده

$P_n$	1120 W	$r_s$	0.91 $\Omega$
$V_n$	230 V	$L_{ds}$	135 mH
$f_n$	60 Hz	$L_{qs}$	50 mH
$P$	4 pulse	$I_n$	6.6 A
$J_m$	0.01 $Kg.m^2$	$B_m$	0.002 N.m.s

[١] T. A. Lipo, "Synchronous reluctance machines- A viable alternative for Ac drives?", Trans. on Electric machines and Power Systems, Vol.19, pp. 659-671, 1991.

[٢] K. K. Shyu, and H. J. Shieh, "A new switching surface sliding-mode speed control for induction motor drive systems", IEEE Trans. PE-11, (4), pp. 660-667, 1996.

[٣] H. D. Lee, S. J. Kang, and S. K. Sul, "Efficiency-optimized direct torque control of synchronous reluctance motor using feedback linearization", IEEE Trans. On Industrial Electronics, Vol.46, No.1, pp.192-198, February 1999.

[٤] T. Matsuo, and T. A. Lipo, "Field oriented of synchronous reluctance machine", Power Electronics Specialists Conference, PESC '93 Record., 24th Annual IEEE, 20-24 June 1993, pp. 425-431.

[٥] Mohamed Azab, A. L. Orille., "Novel Flux and Torque Control of Induction Motor Drive Using Four Switch Three Phase Inverter", IECON'01 : The 24th Annual Conference of the IEEE Industrial Electronics Society, 2001, pp. 1268-1273.

[٦] M. F. Zhong,, Rahman, et. al., "A DIRECT TORQUE CONTROLLER FOR PERMANENT MAGNET SYNCHRONOUS MOTOR DRIVES", Energy Conversion, IEEE Trans. on , Vol. : 14 Issue: 3, pp. 637-642, sept. 1999.

[٧] Lianbing Li, Hexu Sun, et. al., " A High-Performance Direct Torque Control Based on DSP in Permanent Magnet Synchronous Motor Drive ", Proceedings of the 4th. World Congress on Intelligent

Archive